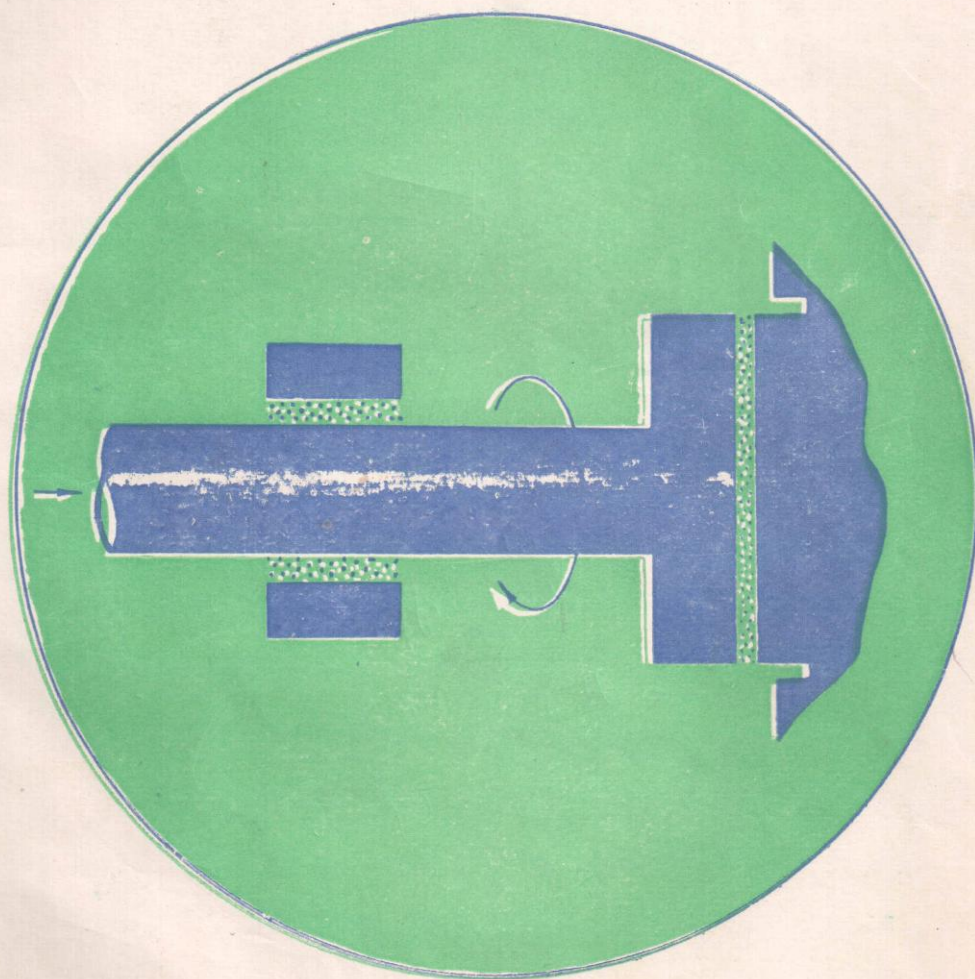


# ГАЗОВЫЕ ОПОРЫ ТУРБОМАШИН



КАЗАНЬ · 1975

А.В.Емельянов, Л.С.Емельянова, В.А.Федотов, Г.В.Шнайдер

## РАСЧЕТ ГАЗОСТАТИЧЕСКОЙ ОПОРЫ С ОДНОСТОРОННИМ ОСЕВЫМ НАГРУЖЕНИЕМ И НЕРАЗДЕЛЕННЫМ ПИТАНИЕМ ТОРЦЕВОГО И РАДИАЛЬНОГО ПОДШИПНИКОВ

(Винницкий политехнический институт,  
Винницкий электротехнический завод)

В исследуемой конструкции (рис.1) внешний дроссель отсутствует. Сжатый газ поступает в рабочий зазор через относительно широкую щель, окружающую радиальный подшипник. Эта щель делит опору на две части: нижнюю ( $z < 0$ ), воспринимающую осевую и часть радиальной нагрузки, и верхнюю ( $z > 0$ ), которая одновременно выполняет функции радиальной опоры и уплотнения. Поскольку давление вдоль линии наддува не зависит ни от осевых, ни от радиальных смещений, то обе эти части ведут себя в работе автономно, и исследование нижней (радиально-осевой) опоры может быть проведено независимо от верхней (радиальной) опоры.

Введем следующие обозначения:  $C$  - рабочий зазор в области кольцевых выступов радиального подшипника при осевом положении;  $R$  - радиус радиального подшипника;  $l_0$  - длина верхней (радиальной) опоры;  $l_1$  - расстояние от линии наддува до верхней ступени;  $\delta$  - высота верхней ступени;  $l_{01}$  - длина радиального подшипника нижней (радиально-осевой) опоры;  $l_{11}$  - расстояние от щели наддува до нижней ступени радиального подшипника;  $\delta_1$  - высота ступени нижнего радиального подшипника;  $\varepsilon$  - эксцентриситет радиального подшипника;  $\varepsilon = e/c$  - относительный эксцентриситет;  $h$  - зазор осевого подшипника;  $h_0$  - номинальное значение  $h$ ;  $r_1, r_2$  - радиусы ступени и внешней границы осевого подшипника;  $\xi$  - высота ступени осевого подшипника;  $\xi^* = (h - h_0)/h_0$  - относительное осевое смещение;  $\xi = 2/l_0, \xi_1 = \xi/l_{01}$  - безразмерные осевые координаты верхнего и нижнего радиальных подшипников;  $\eta = c/R$  - безразмерная радиальная координата;  $P_a$  - давление окружающей среды;  $P_H$  - давление наддува;  $\mu$  - квадрат давления;  $\mu_1, \mu_2, \mu_3, \mu_4$  - значения  $\mu$  в четырех областях радиально-осевой опоры - микрокармане и микровыступе радиального подшипника и микрокармане и микровыступе осевого подшипника соответственно;  $F_2^* = 4R^2 R^2 F_2$  - радиальная реакция газового слоя;  $F_1^*$  - безразмерная радиальная реакция;  $F_0^* = \pi R_a R^2 F_0$  - осевая несущая способность опоры;  $F_0$  - безразмерная осевая несущая способность;  $K$  - отношение плотности газа к давлению при температуре газового слоя;  $\mu$  - коэффициент динамической вязкости.

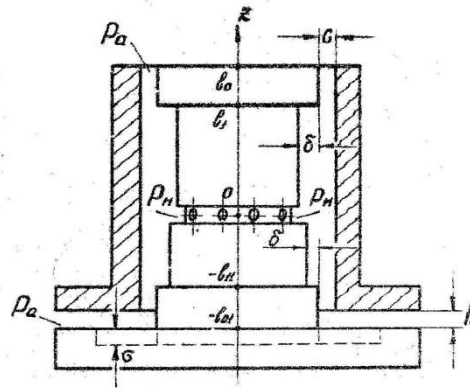


Рис.1. Схема газостатической опоры

Введем безразмерные параметры

$$\begin{aligned} \nu &= \frac{c}{c+b}, \quad \nu_1 = \frac{c}{c+b_1}, \quad \nu_2 = \frac{h}{h_0+b}, \quad \gamma = \frac{h_0}{c}, \\ \beta &= \frac{l_0}{R}, \quad \beta_1 = \frac{l_{01}}{R}, \quad \alpha = \frac{l_1}{l_0}, \quad \alpha_1 = \frac{l_{11}}{l_{01}}, \quad \chi_1 = \frac{z_1}{R}, \\ \chi_2 &= \frac{z_2}{R}, \quad P_1 = \frac{P_0}{P_0}, \quad P_{12} = \frac{P_{12}}{P_0}, \quad P_{23} = \frac{P_{23}}{P_0}, \quad P_{34} = \frac{P_{34}}{P_0}. \end{aligned}$$

Исходя из уравнений Рейнольдса, можно получить четыре дифференциальных уравнения для определения функции  $U$  в четырех сопряженных областях реальных-осевой опоры:

$$\begin{aligned} \frac{\partial^2 U_1}{\partial y^2} + \frac{2\varepsilon \nu_1 \sin \varphi}{1-\varepsilon \nu_1 \cos \varphi} \cdot \frac{\partial U_1}{\partial y} + R^2 \frac{\partial^2 U_1}{\partial z^2} &= 0, \\ \frac{\partial^2 U_2}{\partial y^2} + \frac{2\varepsilon \nu_2 \sin \varphi}{1-\varepsilon \nu_2 \cos \varphi} \cdot \frac{\partial U_2}{\partial y} + R^2 \frac{\partial^2 U_2}{\partial z^2} &= 0, \\ \varepsilon^2 \frac{\partial^2 U_3}{\partial z^2} + 2 \frac{\partial U_3}{\partial z} + \frac{\partial^2 U_3}{\partial y^2} &= 0, \\ \varepsilon^2 \frac{\partial^2 U_4}{\partial z^2} + 2 \frac{\partial U_4}{\partial z} + \frac{\partial^2 U_4}{\partial y^2} &= 0. \end{aligned} \quad (1)$$

При малых  $\varepsilon$  решения этих уравнений достаточно точно описываются [ I ] функциями

$$\begin{aligned} U_1(\varphi, z) &= A_{01} + A_{02} z + (A_{11} e^{\frac{z}{R}} + A_{12} e^{-\frac{z}{R}}) \cos \varphi, \\ U_2(\varphi, z) &= B_{01} + B_{02} z + (B_{11} e^{\frac{z}{R}} + B_{12} e^{-\frac{z}{R}}) \cos \varphi, \\ U_3(z, \varphi) &= C_{01} + C_{02} \ln z + (C_{11} z + C_{12} z^{-1}) \cos \varphi, \\ U_4(z, \varphi) &= D_{01} + D_{02} \ln z + (D_{11} z + D_{12} z^{-1}) \cos \varphi. \end{aligned} \quad (2)$$

На границах областей функции  $U_1$ ,  $U_2$ ,  $U_3$  и  $U_4$  отвечают условиям

$$\begin{aligned} U_1(\varphi, z) &= P_1^2 && \text{при } z=0 \\ U_1(\varphi, z) &= U_2(\varphi, z) && \text{при } z=l_{01} \\ U_2(\varphi, z) &= U_3(z, \varphi) && \text{при } z=l_{02}, z=R, \\ U_3(z, \varphi) &= U_4(z, \varphi) && \text{при } z=z_1, \\ U_4(z, \varphi) &= P_2^2 && \text{при } z=z_2 \end{aligned} \quad (3)$$

Рассматривая (2) и (3) совместно, получим пять равенств, каждое из которых распадается на два уравнения. В результате получаем десять уравнений с шестнадцатью неопределенными постоянными:

$$\begin{aligned} A_{02} &= P_1^2, \quad A_{11} + A_{12} = 0, \\ A_{01} - A_{02} R_{01} &= B_{01} - B_{02} R_{01}, \\ A_{11} e^{-\alpha_1 \beta_1} + A_{12} e^{\alpha_1 \beta_1} &= B_{11} e^{-\alpha_1 \beta_1} + B_{12} e^{\alpha_1 \beta_1}, \\ B_{01} - B_{02} C_{01} &= C_{01} + C_{02} \ln R, \\ B_{11} e^{-\alpha_1} + B_{12} e^{\alpha_1} &= C_{11} R + C_{12} R^{-1}, \\ C_{01} + C_{02} \ln z_1 &= D_{01} + D_{02} \ln z_1, \\ C_{11} z_1 + C_{12} z_1^{-1} &= D_{11} z_1 + D_{12} z_1^{-1}, \\ D_{01} + D_{02} \ln z_2 &= P_2^2, \\ D_{11} z_2 + D_{12} z_2^{-1} &= 0. \end{aligned} \quad (4)$$

Для определения 6 недостающих уравнений используем условия неразрывности потока на границах сопряженных областей:

$$\begin{aligned}\Delta Q_{21}(-l_1) &= \Delta Q_{22}(-l_1) \\ \Delta Q_{23}(R) &= -\Delta Q_{22}(-l_0) \\ \Delta Q_{23}(z_1) &= \Delta Q_{24}(z_1)\end{aligned}\quad (5)$$

Общие выражения локальных расходов при малых  $\varepsilon$  запишем в виде

$$\begin{aligned}\Delta Q_{21} &= -\frac{\kappa R(C+B_1)^3}{24\mu L} (1-3\nu_1 \varepsilon \cos \varphi) \left[ A_{12} + \frac{1}{R} (A_{11} e^{\frac{\varphi}{R}} - A_{12} e^{-\frac{\varphi}{R}}) \cos \varphi \right], \\ \Delta Q_{22} &= -\frac{\kappa R C^3}{24\mu L} (1-3\varepsilon \cos \varphi) \left[ B_{02} + \frac{1}{R} (B_{11} e^{\frac{\varphi}{R}} + B_{12} e^{-\frac{\varphi}{R}}) \cos \varphi \right], \\ \Delta Q_{23} &= -\frac{\kappa (h_0 + \sigma)^3}{24\mu L} (1+\nu_0 \varphi^2)^3 \left[ C_{02} + (C_{11} z - C_{12} z^{-1}) \cos \varphi \right] \\ \Delta Q_{24} &= -\frac{\kappa h_0^3}{24\mu L} (1+\varphi^2)^3 \left[ D_{02} + (D_{11} z - D_{12} z^{-1}) \cos \varphi \right].\end{aligned}\quad (6)$$

Подставив выражения (6) в (5), получим три равенства, каждое из которых распадается на два уравнения. Таким образом, к уравнениям (4) добавятся еще шесть:

$$\begin{aligned}R A_{02} - \frac{3}{2} \varepsilon \nu_1 (A_{11} e^{-\frac{\varphi}{R}} - A_{12} e^{\frac{\varphi}{R}}) &= \nu_1^3 R B_{02} - \frac{3}{2} \varepsilon \nu_1^3 (B_{11} e^{-\frac{\varphi}{R}} - B_{12} e^{\frac{\varphi}{R}}); \\ -3 \varepsilon \nu_1 R A_{02} + A_{11} e^{-\frac{\varphi}{R}} - A_{12} e^{\frac{\varphi}{R}} &= 3 \varepsilon \nu_1^3 R B_{02} + \nu_1^3 (B_{11} e^{-\frac{\varphi}{R}} - B_{12} e^{\frac{\varphi}{R}}); \\ -\delta^3 (1+\nu_0 \varphi_0)^3 C_{02} = \nu_0^3 R B_{02} - \frac{3}{2} \varepsilon \nu_0^3 (B_{11} e^{\frac{\varphi}{R}} - B_{12} e^{-\frac{\varphi}{R}}); \\ -\delta^3 (1+\nu_0 \varphi_0)^3 (C_{11} R - C_{12} R^{-1}) &= -3 \varepsilon \nu_0^3 R B_{02} + \nu_0^3 (B_{11} e^{-\frac{\varphi}{R}} - B_{12} e^{\frac{\varphi}{R}}); \\ (1+\nu_0 \varphi_0^2) C_{02} &= \nu_0^3 (1+\varphi_0^2) D_{02} \\ (1+\nu_0 \varphi_0^2) (C_{11} z_1 - C_{12} z_1^{-1}) &= \nu_0^3 (1+\varphi_0^2) (D_{11} z_1 - D_{12} z_1^{-1}).\end{aligned}\quad (7)$$

Система шестнадцати уравнений (4), (7) имеет решение

$$\begin{aligned}A_{02} &= P_n^2 P_n^2, \quad A_{02} = \frac{P_n^2}{R} \cdot \frac{P_n^2 - P_{12}^2}{\alpha_1 h_1}; \\ B_{02} &= P_n^2 \left[ P_{12}^2 + (P_{12}^2 - P_{23}^2) \frac{\alpha_1}{1 - \alpha_1} \right], \quad B_{02} = \frac{P_n^2}{R} \cdot \frac{P_{12}^2 - P_{23}^2}{h_1 (1 - \alpha_1)}; \\ C_{02} &= P_n^2 \left[ P_{23}^2 + (P_{23}^2 - P_{34}^2) \frac{h_1 R}{2 h_2 h_3} \right], \quad C_{02} = -P_n^2 \frac{P_{23}^2 - P_{34}^2}{2 h_2 h_3}; \\ D_{02} &= P_n^2 \left[ P_{34}^2 + (P_{34}^2 - 1) \frac{h_1 R z_1}{2 h_2 h_3} \right], \quad D_{02} = -P_n^2 \frac{P_{34}^2 - 1}{2 h_2 h_3 / h_1};\end{aligned}\quad (8)$$

где

$$P_{12}^2 = P_n^2 - \frac{(P_n^2 - 1) h_1 \alpha_1 \delta^3 \nu_0^3}{h_1 \delta^3 [1 - \alpha_1 (1 - \nu_1^3)] + \frac{\nu_0^3 h_1 h_2}{(1 + \nu_0 \varphi_0^2)^3} + \frac{h_1 R^2 / h_1}{(1 + \varphi_0^2)^3}};$$

$$P_{23}^2 = P_n^2 \frac{(P_n^2 - 1) h_1 \delta^3 [1 - \alpha_1 (1 - \nu_1^3)]}{h_1 \delta^3 [1 - \alpha_1 (1 - \nu_1^3)] + \frac{\nu_0^3 h_1 h_2}{(1 + \nu_0 \varphi_0^2)^3} + \frac{h_1 R^2 / h_1}{(1 + \varphi_0^2)^3}};$$

$$P_n^i = 1 + \frac{(P_n^i - 1) \cdot \frac{e r \lambda_2 / \lambda_1}{(1 + \varphi)^2}}{\lambda_1 \gamma^2 [1 - \alpha_1 (1 - \nu_1^2)] + \frac{\nu_1^2 e r \lambda_1}{(1 + \nu_0 \varphi)^2} + \frac{e r \lambda_2 / \lambda_1}{(1 + \varphi)^2}}$$

$$A_{11} = P_n^i \varepsilon A, \quad A_{12} = -P_n^i \varepsilon A, \quad (9)$$

$$A = \frac{3}{2} \cdot \frac{\nu_1 \theta_1 [c h \lambda_1 (1 - \alpha_1) + B s h \lambda_1 (1 - \alpha_1)] + \nu_1^2 \theta_2}{\nu_1^2 B s h \alpha_1 \lambda_1 + c h \alpha_1 \lambda_1 c h \lambda_1 (1 - \alpha_1) + (\nu_1^2 s h \alpha_1 \lambda_1 + \beta c h \alpha_1 \lambda_1) s h \lambda_1 (1 - \alpha_1)}$$

$$\beta = \frac{\psi_2 (\lambda_1^2 + \lambda_2^2) (\lambda_1^2 + 1) + (\lambda_2^2 - \lambda_1^2) (\lambda_2^2 - 1)}{\psi_1 [\psi_2 (\lambda_1^2 - 1) (\lambda_1^2 + \lambda_2^2) + (\lambda_2^2 + 1) (\lambda_2^2 - \lambda_1^2)]}$$

$$\theta_1 = \frac{P_n^i - P_{n2}^i}{\alpha_1 \lambda_1} + \nu_1^2 \frac{P_{n2}^i - P_{n1}^i}{\lambda_1 (1 - \alpha_1)}, \quad \theta_2 = \frac{P_{n2}^i - P_{n1}^i}{\lambda_1 (1 - \alpha_1)}$$

$$\psi_1 = \frac{\nu_1^3}{\gamma^2 (1 + \nu_0 \varphi)^2}, \quad \psi_2 = \frac{\nu_1^2 (1 + \varphi)^2}{(1 + \nu_0 \varphi)^2}, \quad B_{11} = P_n^i \varepsilon B_{11}^*, \quad B_{12} = P_n^i \varepsilon B_{12}^*,$$

$$B_{11}^* = -\frac{3[\nu_1 (\beta + 1) \theta_1 e^{\beta_1} + \nu_1^2 \theta_2 e^{-\alpha_1 \beta_1}]}{2_1^* (\beta - 1) e^{-\beta_1 (1 - \alpha_1)} + 2_2^* (\beta + 1) e^{\beta_1 (1 - \alpha_1)}}, \quad (10)$$

$$B_{12}^* = \frac{3[\nu_1 (\beta - 1) \theta_1 e^{-\beta_1} - \nu_1^2 \theta_2 e^{-\alpha_1 \beta_1}]}{2_1^* (\beta - 1) e^{-\beta_1 (1 - \alpha_1)} + 2_2^* (\beta + 1) e^{\beta_1 (1 - \alpha_1)}}$$

$$2_1^* = \nu_1^3 - c t h \alpha_1 \lambda_1, \quad 2_2^* = \nu_1^3 + c t h \alpha_1 \lambda_1,$$

$$C_{11} = \frac{P_n^i}{R} \varepsilon C_{11}^*, \quad C_{12} = P_n^i R \varepsilon C_{12}^*,$$

$$C_{11}^* = \frac{3}{2} \left\{ \psi_1 \theta_2 + \frac{(1 + \psi_1) [\nu_1 (\beta - 1) \theta_1 e^{-\beta_1} - \nu_1^2 \theta_2 e^{-\alpha_1 \beta_1}] e^{\beta_1}}{2_1^* (\beta - 1) e^{-\beta_1 (1 - \alpha_1)} + 2_2^* (\beta + 1) e^{\beta_1 (1 - \alpha_1)}} - \frac{(1 - \psi_1) [\nu_1 (\beta + 1) \theta_1 e^{\beta_1} + \nu_1^2 \theta_2 e^{\alpha_1 \beta_1}] e^{-\beta_1}}{2_1^* (\beta - 1) e^{-\beta_1 (1 - \alpha_1)} + 2_2^* (\beta + 1) e^{\beta_1 (1 - \alpha_1)}} \right\}, \quad (11)$$

$$C_{12}^* = -\frac{3}{2} \left\{ \psi_1 \theta_2 - \frac{(1 - \psi_1) [\nu_1 (\beta - 1) \theta_1 e^{-\beta_1} - \nu_1^2 \theta_2 e^{-\alpha_1 \beta_1}] e^{\beta_1}}{2_1^* (\beta - 1) e^{-\beta_1 (1 - \alpha_1)} + 2_2^* (\beta + 1) e^{\beta_1 (1 - \alpha_1)}} + \frac{(1 + \psi_1) [\nu_1 (\beta + 1) \theta_1 e^{\beta_1} + \nu_1^2 \theta_2 e^{\alpha_1 \beta_1}] e^{-\beta_1}}{2_1^* (\beta - 1) e^{-\beta_1 (1 - \alpha_1)} + 2_2^* (\beta + 1) e^{\beta_1 (1 - \alpha_1)}} \right\},$$

$$D_{11} = -\frac{P_n^i}{R \lambda_1} \varepsilon D^*, \quad D_{12} = P_n^i R \varepsilon \lambda_1 D^*, \quad (12)$$

$$D^* = \frac{3 \lambda_1}{2 (\lambda_2^2 - \lambda_1^2)} \left\{ \psi_1 (\lambda_2^2 - 1) \theta_2 + \frac{2_1 [\nu_1 (\beta - 1) \theta_1 e^{-\beta_1} - \nu_1^2 \theta_2 e^{-\alpha_1 \beta_1}] e^{\beta_1}}{2_1^* (\beta - 1) e^{-\beta_1 (1 - \alpha_1)} + 2_2^* (\beta + 1) e^{\beta_1 (1 - \alpha_1)}} - \frac{2_2 [\nu_1 (\beta + 1) \theta_1 e^{\beta_1} + \nu_1^2 \theta_2 e^{\alpha_1 \beta_1}] e^{-\beta_1}}{2_1^* (\beta - 1) e^{-\beta_1 (1 - \alpha_1)} + 2_2^* (\beta + 1) e^{\beta_1 (1 - \alpha_1)}} \right\},$$

$$Z_1 = \chi_1^2 + 1 + \psi_1(\chi_1^2 - 1), \quad Z_2 = \chi_1^2 + 1 - \psi_1(\chi_1^2 - 1).$$

В соответствии с выражениями (2), (8), (11) и (12) осевая несущая способность  $F_y^*$  опоры и ее безразмерная осевая несущая способность  $F_y$  представляется

$$F_y^* = \pi R_m R^2 F_y$$

$$F_y = \frac{2}{\pi} \int_1^{\chi_1} \chi d\chi \int_0^{\psi} \sqrt{U_3^*} d\psi + \frac{2}{\pi} \int_{\chi_1}^{\chi_2} \chi d\chi \int_0^{\psi} \sqrt{U_4^*} d\psi - (Z_2 - 1), \quad (13)$$

где

$$U_3^* = P_{23}^* - (P_{23}^* - P_{24}^*) \frac{\ln \chi}{\ln \chi_1} + E(C_{11} \chi + C_{12} \chi^{-1}) \cos \psi$$

$$U_4^* = P_{24}^* - (P_{24}^* - 1) \frac{\ln \chi / \chi_1}{\ln \chi_2 / \chi_1} - E D^* (\chi \chi_1^{-1} - \chi_1 \chi^{-1}) \cos \psi$$

Разложив  $\sqrt{U_3^*}$  и  $\sqrt{U_4^*}$  в ряд по степеням  $E$  и отбросив члены порядка  $E^2$  и выше, получим

$$\sqrt{U_3^*} = \sqrt{P_{23}^* - (P_{23}^* - P_{24}^*) \frac{\ln \chi}{\ln \chi_1}} + \frac{E(C_{11} \chi + C_{12} \chi^{-1}) \cos \psi}{2 \sqrt{P_{23}^* - (P_{23}^* - P_{24}^*) \frac{\ln \chi}{\ln \chi_1}}}$$

$$\sqrt{U_4^*} = \sqrt{P_{24}^* - (P_{24}^* - 1) \frac{\ln \chi / \chi_1}{\ln \chi_2 / \chi_1}} - \frac{E D^* (\chi \chi_1^{-1} - \chi_1 \chi^{-1}) \cos \psi}{2 \sqrt{P_{24}^* - (P_{24}^* - 1) \frac{\ln \chi / \chi_1}{\ln \chi_2 / \chi_1}}}$$

Если с учетом этих равенств выражение (13) проинтегрировать по  $\psi$ , то получим

$$F_y = 2 \int_1^{\chi_1} \sqrt{P_{23}^* - (P_{23}^* - P_{24}^*) \frac{\ln \chi}{\ln \chi_1}} \cdot \chi d\chi +$$

$$+ 2 \int_{\chi_1}^{\chi_2} \sqrt{P_{24}^* - (P_{24}^* - 1) \frac{\ln \chi / \chi_1}{\ln \chi_2 / \chi_1}} \cdot \chi d\chi - (Z_2 - 1). \quad (14)$$

Как видно, при малых  $E$  осевая реакция не зависит от величины относительного эксцентриситета и равна осевой реакции, вычисленной при соосном расположении радиального подшипника.

Радиальная несущая способность  $F_{r1}^*$  опоры и ее безразмерная несущая способность  $F_{r1}$  в соответствии с выражениями (2), (8), (9) и (10) имеют вид

$$F_{r1}^* = 4R_m R^2 F_{r1}, \quad F_{r1} = \lambda_1 \int_0^{\psi_1} \sqrt{U_1^*} \cos \psi d\psi + \lambda_2 \int_0^{\psi_2} \sqrt{U_2^*} \cos \psi d\psi,$$

где

$$U_1^* = P_{11}^* + (P_{11}^* - P_{12}^*) \xi_1 + 2EA \operatorname{sh} \lambda_1 \xi_1 \cos \psi, \quad U_2^* = \theta_1^* + \theta_2^* \xi_2 + E(B_1^* e^{\lambda_1 \xi_1} + B_2^* e^{-\lambda_1 \xi_1}) \cos \psi,$$

$$\theta_1^* = P_{11}^* + (P_{11}^* - P_{12}^*) \frac{\alpha_1}{1 - \alpha_1}, \quad \xi_1 = \frac{r}{R_{m1}}$$

Отсюда нетрудно найти безразмерную радиальную жесткость при  $E = 0$  [ 2 ] :

$$K_{r1} = \frac{1}{2} \pi \lambda_1 \left[ \lambda_1 \int_0^{\psi_1} \frac{\operatorname{sh} \lambda_1 \xi_1 \alpha_1 \xi_1}{\sqrt{P_{11}^* + (P_{11}^* - P_{12}^*) \xi_1}} d\psi + \int_0^{\psi_2} \frac{B_1 e^{\lambda_1 \xi_2} + B_2 e^{-\lambda_1 \xi_2}}{2 \sqrt{B_1^* + B_2^* \xi_2}} d\psi \right] \quad (15)$$

Если в этом выражении положить  $\lambda_1 = \lambda$ ,  $\alpha_1 = \alpha$ ,  $\xi_1 = \xi$ , а затем устремить  $\lambda_1$  и  $\lambda_2$  к единице, то в пределе получится радиальная жесткость второй части опоры, выполняющей функции радиального подшипника и уплотнения:

$$K_{\varepsilon 0} = \frac{1}{4} \pi R \alpha A \left[ \int_0^{\varepsilon} \frac{\operatorname{sh} \lambda \xi d\xi}{\sqrt{P_N^2 - \frac{1}{3} A \xi}} + \frac{\sqrt{1-\alpha} \operatorname{sh} \lambda \alpha}{\operatorname{sh} \lambda (1-\alpha)} \int_{\alpha}^1 \frac{\operatorname{sh} \lambda (1-\xi) d\xi}{|\xi - \alpha + (P_N^2 - \frac{1}{3} A \alpha)(1-\xi)|} \right], \quad (16)$$

где

$$\alpha = \frac{(1-\nu) \operatorname{th} \lambda (1-\alpha)}{2\lambda [\nu^3 \operatorname{sh} \lambda \alpha + \operatorname{ch} \lambda \alpha \operatorname{th} \lambda (1-\alpha)]}, \quad A = \frac{3\nu^3 (P_N^2 - 1)}{1 - \alpha(1-\nu^2)}.$$

Общая радиальная реакция и радиальная жесткость опоры (см.рис.) должны определяться суммированием по двум ее областям, разделенным линией наддува [ 2 ]:

$$F_{\varepsilon}^R = 4P_N R^2 F_{\varepsilon}, \quad F_{\varepsilon} = \varepsilon K_{\varepsilon}, \quad K_{\varepsilon} = K_{\varepsilon 0} + K_{\varepsilon 1} \quad (17)$$

Расход газа  $Q$  и безразмерный расход  $q$  через опору определяются равенствами

$$Q = \frac{\pi K P_N^2 C^3}{12\mu L} q, \quad q = q_0 + q_1 \quad (18)$$

где  $q_0$  и  $q_1$  - безразмерные расходы через радиальный и смещенный подшипники:

$$q_0 = \frac{P_N^2 - 1}{A[1 - \alpha(1-\nu^2)]}, \quad q_1 = \frac{P_N^2 - P_{\varepsilon 2}^2}{A[1 - \alpha_1(1-\nu^2)]}. \quad (19)$$

Следует отметить, что все полученные выражения справедливы в диапазоне линейности  $F(\varepsilon)$ , т.е. при  $\varepsilon \leq 0,4-0,5$  [ 2 ]. Расчеты, проведенные по изложенной теории, позволяют сказать, что существуют оптимальные значения параметров  $\alpha$  и  $\nu$ , при которых отношение  $K_{\varepsilon 0}/q_0$  безразмерной жесткости верхней радиальной опоры к безразмерному расходу газа через нее достигает максимума. Эти оптимальные параметры и соответствующие им значения  $K_{\varepsilon 0}$  и  $q_0$  при различных  $P_N$  и  $A$  приведены в таблице.

Т а б л и ц а

Оптимальные параметры  $\alpha$  и  $\nu$   
и соответствующие им значения  $K_{\varepsilon 0}$  и  $q_0$

$P_N$	$A$	$\alpha$	$\nu$	$K_{\varepsilon 0}$	$q_0$
2	0,4	0,657	0,681	0,0124	13,62
2	0,6	0,652	0,683	0,0270	9,00
2	0,8	0,647	0,685	0,0460	6,69
2	1,0	0,641	0,688	0,0621	5,28
2	1,5	0,623	0,695	0,1304	3,413
2	2,0	0,605	0,700	0,1932	2,490
2	2,5	0,590	0,704	0,2499	1,949
3	0,4	0,660	0,687	0,0232	36,10
3	0,6	0,655	0,689	0,0504	23,86
3	0,8	0,651	0,691	0,0858	17,73
3	1,0	0,645	0,694	0,1271	14,02
3	1,5	0,628	0,700	0,2439	9,07
3	2,0	0,612	0,706	0,3624	6,64
3	2,5	0,599	0,709	0,4702	5,24
4	0,4	0,661	0,690	0,0332	67,4
4	0,6	0,657	0,692	0,0723	44,62
4	0,8	0,652	0,694	0,1230	33,12
4	1,0	0,647	0,697	0,1825	26,21
4	1,5	0,630	0,703	0,3510	16,99
4	2,0	0,615	0,708	0,522	12,44
4	2,5	0,604	0,711	0,678	9,78